



## مروری بر روش‌های سنتز نانوادت‌های کربن و بررسی خصوصیات نشری آنها

محمد غفارزاده<sup>\*</sup>، مهتاب ادريسی<sup>۲</sup>

۱- استادیار، دانشکده علوم و فناوری‌های نوین، پژوهشگاه شیمی و مهندسی شیمی ایران، صندوق پستی: ۱۴۳۳۵-۱۸۶

۲- دانشجوی دکتری، دانشکده علوم و فناوری‌های نوین، پژوهشگاه شیمی و مهندسی شیمی ایران، صندوق پستی: ۱۴۳۳۵-۱۸۶

تاریخ دریافت: ۹۴/۷/۱۱ تاریخ بازبینی نهایی: ۹۴/۱۰/۱۳ تاریخ پذیرش: ۹۴/۱۰/۱۵ در دسترس به صورت الکترونیک: ۹۴/۱۰/۱۵

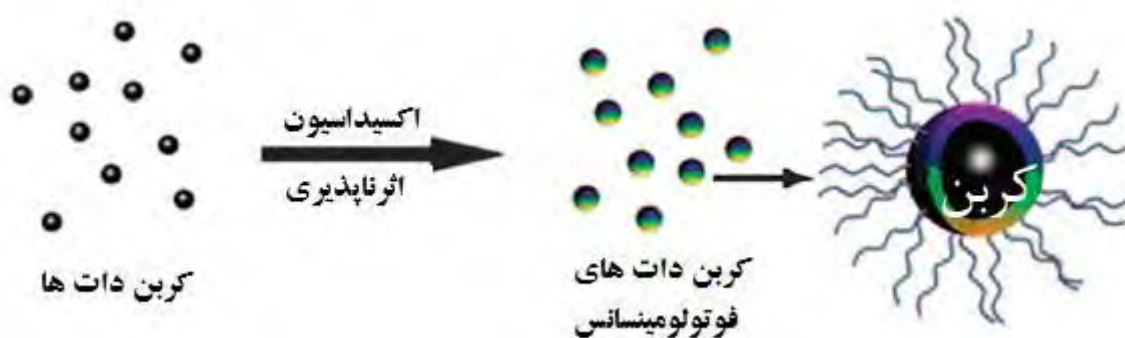
### چکیده

کربن نانوادت‌ها (کربن دات‌ها) نسلی جدید از ساختارهای نانولوئه‌های کربنی (فولرن‌ها، نانولوئه‌های کربنی، گرافن‌ها) هستند که تاکنون شناخته شده‌اند. این نقاط کوانتمی کربنی دارای سطوح اثربازی بسیار زیاد نسبت به رنگ پریدگی دربرابر تابش نور، زیست سازگاری، سمیت پایین، صرفه اقتصادی، و فراوانی مواد اولیه آن در طبیعت توجهات بسیاری را به خود جلب نموده‌اند. عموماً کربن نانوادت‌ها حاوی تعداد کثیری از گروه‌های کربوکسیلیک اسید بر روی سطح خود می‌باشند، به همین دلیل حلالیت بسیار خوبی در آب داشته و برای عامل‌دارشدن توسط انسواعی از گونه‌های آلی، پلیمری، معدنی یا زیستی مناسب می‌باشند. ساختار یک‌دست آنها همراه با ابعاد بسیار ریز، قابلیت دست‌کاری و عامل‌دار نمودن سطح و تنوع گسترده در روش‌های سنتزی ساده، سریع و ارزان سبب گردیده است تا کربن نانوادت‌ها به عنوان جایگزین سایر نانوکربن‌ها (فولرن‌ها، نانوالماس‌ها، نانولوئه‌های کربنی) معرفی گردند. البته قبل توجه‌ترین مسئله در مورد کربن نانوادت‌ها، قابلیت جایگزینی آنها با کوانتم دات‌های بر پایه فلزات سمی می‌باشد.

### واژه‌های کلیدی

کربن نانوادت، دوستدار محیط‌زیست، فلورسنت، کوانتم دات.

### چکیده تصویری





## A review on the synthesis of carbon nano-dots and investigation of their photoluminescence properties

Mohammad Ghaffarzadeh\*, Mahtab Edrisi

Science and New Technologies Department, Chemistry & Chemical Engineering Research Center of Iran, P.O. Box: 14335-186.

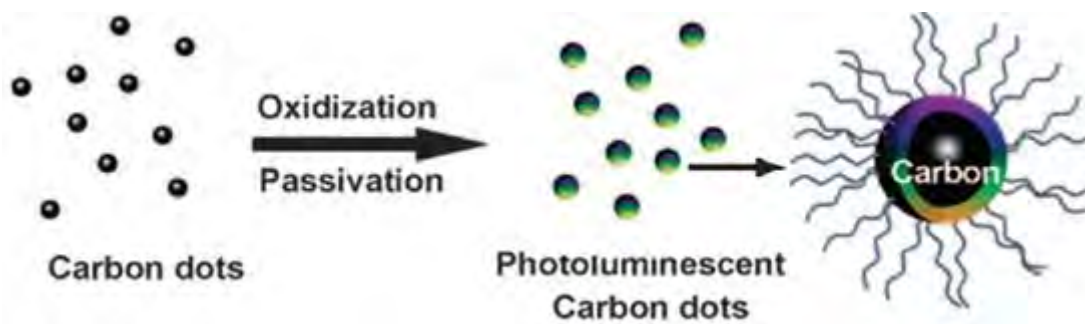
### Abstract

Carbon nanodots (C-dots) are a new class of carbon nanomaterials (grapheme, carbon nanotube, fullerene) which have been identified. This carbon quantum dots have passivated surface which due to the resistance to photobleaching, ease of bioconjugation, without incurring the burden of intrinsic toxicity or elemental scarcity have attracted a great deal of attention. Carbon nano-dot generally contains carboxylic acid moieties at their surface, so imparting them with excellent water solubility and suitability for subsequent functionalization with various organic, polymeric, inorganic, or biological species. Their well-defined, nearly isotropic shapes together with their ultrafine dimensions, tunable surface functionalities, and the sheer variety of simple, fast, and cheap synthetic routes available provide an encouraging technological platform for C-dot emitters as alternatives to other nanocarbons (fullerenes, nanodiamonds, carbon nanotubes) in a host of applications. However, the most notable point about the carbon nanodots is their replacement capacity with the toxic quantum dot-based metals.

### Keywords

Carbon nanodots, Eco-friendly, Fluorescent, Quantum dots.

### Graphical abstract



## ۱- مقدمه

کندگی با لیزر [۱۸، ۱۹]، تخلیه قوسی [۴]، اکسیداسیون شیمیایی [۲۰]، الکتروشیمیایی [۲۱، ۲۲] و غیره می‌باشد. به هر حال، نانوذرات گرافیتی سنتز شده توسط این روش‌ها فلورسانس نمی‌باشند و مرحله دیگر اثراپدیزیر ساختن سطح<sup>۷</sup> مورد نیاز است تا نشر نوری از خود ایجاد نمایند. در روش‌های پایین- بالا مانند روش‌های اکسیداسیون احتراقی/ پیرولیز/ هیدروترمال [۲۳-۲۷]، مایکروویو/ فراصوت [۲۸-۳۰] و از طریق واکنش‌های شیمیایی [۳۱-۳۳] منابع کربنی غیرگرافیتی به نانوذرات گرافیتی تبدیل شوند. در پنج سال گذشته روش‌های پایین- بالا به دلیل روش‌های تهیه ساده و منابع کربنی ارزان قیمت توجه بسیاری را به خود جلب نموده‌اند. همچنین کربن نانوذرات حاصله لومیننسنست بوده و می‌تواند از منابع زیست سازگار تهیه شود.

## ۲- سنتز کربن نانوذرات‌ها

## ۲-۱- سنتز کربن نانوذرات به روش بالا- پایین

## ۲-۱-۱- روش تخلیه قوسی

در روش تخلیه قوسی کربن نانوذرات‌ها از یک ساختار کربنی بزرگ‌تر تشکیل می‌شوند. زو و همکارانش<sup>۸</sup> [۴] به هنگام خالص‌سازی کربن نانولوله‌های تک دیواره به روش تخلیه قوسی نانوماده فلورسانس ناشناخته‌ای از کربن را جمع‌آوری نمودند. سپس به منظور بهبود خواص آب‌دوستی، آن را اسید نیتریک ۳/۳ نرمال اکسید نمودند تا گروههای عاملی کربوکسیلیک بهروی آن قرار گیرند. در ادامه استخراج ته نشست آن با محلول سود pH=۴/۸ منجر به تشکیل سوپسائیون پایداری گردید. این سوپسائیون توسط ژل الکتروفورز به کربن نانولوله تک دیواره، کربن‌های لوله‌ای کوتاه و ماده دیگری با فلورسانس بسیار زیاد که اکنون به عنوان کربن نانوذرات شناخته می‌شود، جداسازی گردید. کربن دات‌ها به سه نوار الکتروفورز جداسازی می‌شوند و تحت برانگیزش در ۳۶۶ nm سه طیف FT-IR رنگی سبز-آبی، زرد، و نارنجی از خود ساطع می‌کنند. آنالیز طیف این نانوساختارها مشخص نمود که گروههای عاملی کربوکسیلیک اسید در کربن نانوذرات‌ها وجود دارد و مهم‌تر از آن در سطوح پیوندی اتصال کربن- هیدروژن هیچگونه هیدروکربن پلی آروماتیکی دیده نشده است. همچنین بر اساس آنالیز عنصری مشخص گردید که این نانوساختارها حاوی ۵۳/۹٪ کربن، ۲/۶٪ هیدروژن، ۱/۲٪ نیتروژن و ۴۰/۳٪ اکسیژن می‌باشند.

## ۲-۱-۲- روش کندگی با لیزر

در این روش از فشار گرمایشی تحت جریان آرگون استفاده می‌گردد. سان و همکارانش<sup>۹</sup> [۳۴] کربن نانوذرات‌ها را از طریق کندگی لیزر هدف کربنی در حضور بخار آب در دمای ۹۰۰°C و فشار ۷۵ کیلو پاسکال تهیه نمودند. پس از تقطیرگشتن نمونه در اسید نیتریک ۲/۶ مولار به مدت ۱۲ ساعت کربن دات‌ها با اندازه ذراتی از ۳ تا ۱۰ نانومتر به دست آمدند. سپس سطح

نانوذرات کربنی فوتولومینسنست<sup>۱</sup> یا کربن دات‌ها نسل جدیدی از ترکیبات کربنی حاوی اکسیژن می‌باشند که خصوصیات متنوع دیگری از مواد بر پایه کربن را از خود نشان می‌دهند. کربن نانوذرات‌ها که دارای هندسه کروی با اندازه کمتر از ۱۰ nm هستند، به دلیل داشتن خواص فیزیکی و شیمیایی برتر در سال‌های اخیر توجهات بسیار زیادی را به خود جلب نموده‌اند [۱-۳]. این نانوذرات شبه کربنی در سال ۲۰۰۴ برای اولین بار به صورت تصادفی بهنگام خالص‌سازی نانولوله‌های کربنی تک دیواره از طریق الکتروفورز به دست آمدند [۴]. در مقایسه با نقاط کواتسومی نیمه‌رسانا و رنگدانه‌های آلی، کربن نانوذرات‌ها از نظر دارا بودن حلالیت بالا در آب، درخشندگی نوری برجسته (فوتولومینسنست)، خواص زیست سازگاری و دسترسی زیستی<sup>۲</sup> مطلوب، اثرناپذیری شیمیایی، سهولت عامل‌دار شدن سطح، پایداری بالا نسبت به رنگ‌پریدگی و سمیت پایین برتری فزاينده‌ای دارند [۵، ۶]. دلیل اصلی گسترش کربن نانوذرات‌ها که اخیراً توجهات بسیاری به خود جلب نموده است، فلورسانس بسیار قوی آنها می‌باشد به همین دلیل به این ترکیبات کربن‌های فلورسانست نیز اطلاق می‌شود [۷]. از زمان کشف اولیه کربن نانوذرات‌ها، مطالعات بسیاری در زمینه روش‌های تهیه این نانوساختارها صورت پذیرفته است و گروههای تحقیقاتی متعددی در تلاش‌اند تا به درک عمیق تری از خاستگاه و رفتار فیزیک نوری این ترکیبات همراه با دستیابی به روش‌های سنتزی بهتر و توسعه کاربردهای جدید این نانو مواد تازه ظهرور یافته بررسند [۸، ۹]. عموماً کربن دات‌ها حاوی گروههای کربوکسیلیک اسید بسیاری بر روی سطح خود هستند و به همین دلیل حلالیت عالی در آب داشته و برای عامل‌دار شدن توسط انواعی از گونه‌های آلی، پلیمری، معدنی و یا زیستی مناسب می‌باشند [۸]. کربن نانوذرات‌ها علاوه بر دارا بودن فوتولومینسنست پایین دگرگون یا نرمال،<sup>۳</sup> فوتولومینسنست بالا دگرگون<sup>۴</sup> بسیار عالی نیز از خود نشان می‌دهند [۱۰]. براین اساس، امکان طراحی سیستم‌های پیچیده کاتالیزوری بر پایه کربن نانوذرات‌ها به منظور استفاده مؤثر، مفید و مقرر به صرفه از تمام طیف نورخورشیدی فراهم گردیده است. این امر در ابعاد بزرگ‌تر اندازه ذرات امکان‌پذیر نبوده و خاصیت فلورسانستی نیز مشاهده نمی‌شود. همچنین با توجه به این که اندازه ذرات کربن نانوذرات‌ها کمتر از ۱۰ nm می‌باشد، باعث افزایش خاصیت کاتالیزوری به دلیل دارا بودن سطح ویژه بیشتر می‌باشد [۱۱، ۱۲]. روش‌های سنتزی کربن نانوذرات‌ها به دو دسته عمده بالا- پایین<sup>۵</sup> و پایین- بالا<sup>۶</sup> تقسیم‌بندی می‌شود. روش بالا- پایین شامل لایه لایه شدن توده گرافیتی یا ماده کربنی از قبیل نانوالماس‌ها [۱۳]، نانولوله‌های کربنی [۱۴]، دوده [۱۵]، کربن فعال [۱۶] و اکسید گرافیت [۱۷] به ابعاد نانو توسط روش‌های شیمیایی یا فیزیکی می‌باشد. این روش‌ها شامل

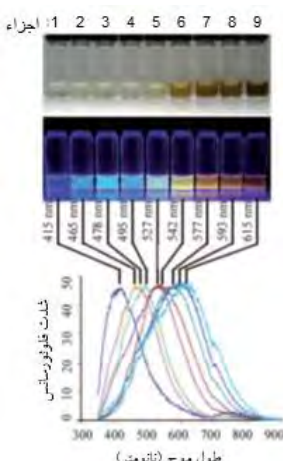
<sup>1</sup> Photoluminescent<sup>2</sup> Bioavailability<sup>3</sup> Down-Converted<sup>4</sup> Up-Converted<sup>5</sup> Top-Down<sup>6</sup> Bottom-Up

داد (شکل ۲).

## ۲-۱- سنتز کربن نانوادت به روش پایین بالا

### ۲-۲- روش حرارتی / احتراقی

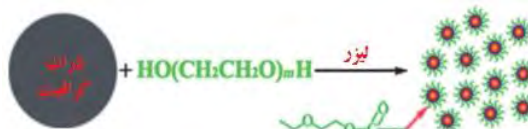
ساده‌ترین منابع کربن نانوادت‌ها شامل دوده به دست آمده از احتراق شمع بدون بو و یا اشکال سوخته شده با گاز طبیعی می‌باشد. مائو و همکارانش<sup>۳</sup> به عنوان اولین گروه تحقیقاتی این زمینه جذاب از سنتز نانوساختارهای فلورئسنت را با قرار دادن تکه‌ای از ورقه نازک آلومینیم در بالای یک شمع و جمع‌آوری دوده حاصل بررسی نمودند [۱۵]. در ادامه دوده جمع‌آوری شده با اسید نیتریک ۵ مولا مخلوط شد و به مدت ۱۲ ساعت تقطیر گردید تا سطح ذرات آن اکسید گردد. پس از سردشدن، کربن نانوادت با قطر تقریبی کمتر از ۲ nm تشكیل شده و توسط سانتریفیوژ یا دیالیز جمع‌آوری شده و در معرض الکتروفورز ژل پلی آکریل آمید (PAGE) جداسازی گردید. تحرک الکتروفورزی کربن نانوادت‌ها با نشر رنگی فوتولومینیسنس آنها در ارتباط بود به گونه‌ای که در طول موج‌های کوتاه‌تر کربن نانوادت‌ها نشر سریع‌تری داشتند (شکل ۳).



شکل ۳- خصوصیات نوری کربن نانوادت تولید شده از دوده شمع توسط الکتروفورز ژل پلی آکریل آمید. تصاویر تحت نور سفید (بالا) و نور فرابنفش (پایین) گرفته شده است. بیشینه طول موج نشر در بالای طیف نشان داده شده است [۱۵].

<sup>۳</sup> Mao et al

کربن نانوادت‌ها با استفاده از عامل پلیمری مانند ترکیبات پلی اتیلن گلیکول یا پلی پروپیونیل اتیلن ایمین که دارای عامل آمینی انتهایی می‌باشند عامل دار نمودند و پس از فرآیند خالص‌سازی توسط دیالیز و یک مرحله سانتریفیوژ کربن نانوادت خالص از محلول رویی به دست آمد. روش‌های بهبود یافته این فرآیند با استفاده از پودر <sup>13</sup>C و شرایط کنترل شده منجر به دستیابی به کربن دات‌های غنی از <sup>13</sup>C با قطر ۴-۵ nm می‌شود که بازده کوآنتمومی فوتولومینیسنس خوبی (تا ۲۰٪) به هنگام برانگیختگی در ۴۴۰ nm دارد. روش تک مرحله‌ای سنتز کربن نانوادت‌ها همراه با بی اثرسازی سطح توسط هو و همکارانش<sup>۱</sup> گزارش گردیده است [۳۵]. در این روش از لیزر پالسی Nd:YAG برای تابش به کربن سیاه یا گرافیت در هیدرات دی ایمین، دی اتانول آمین یا پلی اتیلن گلیکول PEG<sub>200N</sub> به مدت ۲ ساعت تحت شرایط فراصوت که به پراکنده‌گی ذرات کمک می‌کند، استفاده گردید (شکل ۱). سپس توسط سانتریفیوژ پسماندهای کربن ته نشست داده شد در حالی که کربن نانوادت‌های با قطر میانگین ۳ nm به صورت سوسپانسیون پاقی ماندند.



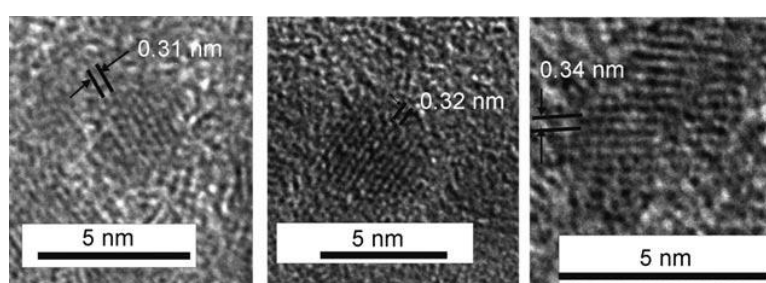
شکل ۱- سنتز یک مرحله‌ای کربن نانوادت‌ها در حلال پلی اتیلن گلیکول [۳۵].

### ۲-۱-۲- سنتز الکتروشیمیایی

سنتز الکتروشیمیایی کربن نانوادت‌ها برای اولین بار توسط ژو و همکارانش<sup>۲</sup> هنگام سنتز کربن نانولوله‌های چنددیواره تشکیل شده از لایه‌های گرافنی انجام پذیرفت [۱۶]. این نانولوله‌ها به عنوان الکتروود کار در سل الکتروشیمیایی شامل سیم پلاتینی و الکترود مرجع Ag/AgClO<sub>4</sub> با محلول استونیتریل گازدایی شده حاوی تترابوتیل آمونیم پرکلرات (TBA) ۰/۱ مولار به عنوان الکترولیت طراحی شده‌اند. کربن نانوادت تولید شده کروی بوده و با قطری در حدود  $2/8 \text{ nm} \pm 0.5$  فاصله شبکه‌ای سازگار با نانو بلورهای گرافیت داشته و نشر فوتولومینیسانس وابسته به  $\lambda$  از خود نشان

<sup>1</sup> Hu et al

<sup>2</sup> Zhou et al



شکل ۲- تصویر میکروسکوپ الکترونی HRTEM کربن نانوادت‌ها [۱۶].

جلوگیری به عمل می‌آید. لیو و همکارانش<sup>۲</sup> [۳۶] از مواد فعال سطح اصلاح شده با سیلیکا به عنوان بستر استفاده نمودند (شکل ۴). در مرحله اول، کامپوزیتی از واکنش بین همبسپار دسته‌ای دوغانه دوست<sup>۳</sup> (F127) و سیلیکای کروی تهیه شد. در ادامه پیش ماده کربن که در واقع همان رزین فنل/فرمالدهید (رزول)<sup>۴</sup> است وارد ساختار کامپوزیت  $\text{SiO}_2/\text{F127}$  شده و به دنبال آن پلیمریزه شد. عامل اصلی جذب رزول در کامپوزیت سورفکتانت F127 است که از طریق پیوند هیدروژنی به جذب رزول کمک نموده و در نتیجه آن فرآیند پلیمریزاسیون بر روی سطح  $\text{SiO}_2$  کروی صورت پذیرفت. گرمایش بیشتر این کامپوزیت به مدت ۲ ساعت در دمای  $^{\circ}\text{C} ۹۰$  و تحت گاز آرگون منجر به تشکیل کامپوزیت کربن دات/سیلیسیم دی اکسید گردید. پس از آن با استفاده از محلول سود ۲ مولا سیلیسیم دی اکسید حذف شده و کربن نانوذرات آزاد شد. این روش منجر به تشکیل کربن دات‌های با هیبرید SP<sup>2</sup> و SP<sup>3</sup> در اندازه  $۱/۵$  تا  $۲/۵ \text{ nm}$  متشکل از  $۹۰/۳ \text{ %}$  کربن،  $۱/۴ \text{ %}$  هیدروژن، و  $۸/۳ \text{ %}$  اکسیژن گردید. در ادامه با استفاده از اسید نیتریک  $۳ \text{ مولار}$  و تقطیر به مدت ۲۴ ساعت و سپس خنثی‌سازی و خالص‌سازی، گروه‌های کربونیل در سطح کربن نانوذرات قرار گرفتند. طیف‌سنجی زیرقرمز تبدیل فوریه نیز حضور گروه‌های کربونیل را تأیید نمود. در ادامه سطح کربن نانوذرات توسط امواج فراصوت با پلی اتیلن گلیکول (PEG<sub>1500N</sub>) به مدت ۷۲ ساعت در دمای  $^{\circ}\text{C} ۱۲۰$  مورد واکنش قرار گرفته و نشر فوتولومینینسنست در گستره طول موجی  $۴۰۰$  تا  $۵۸۰ \text{ nm}$  از خود نشان داد.

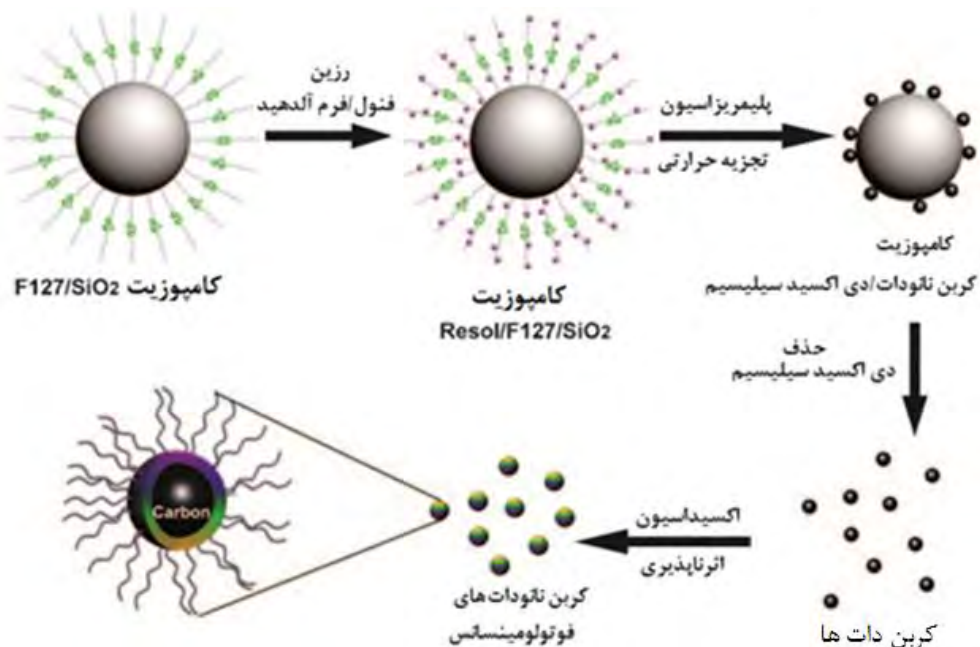
<sup>2</sup> Liu et al<sup>3</sup> Amphiphilic triblock copolymer<sup>4</sup> Resols

با استفاده از AFM مشخص گردید که کربن نانوذرات حاصله تقریباً  $1 \text{ nm}$  می‌باشد. با استفاده از طیف‌سنجی رزونانس مغناطیس هسته کربن <sup>13</sup>CNMR، سه نوع سیگنال حاصل از پیوندهای C=C داخلى و پیوندهای C=O مشاهده شد. نکته مهم این که، هیچ سیگنالی مبتنی بر وجود کربن با هیبریداسیون sp<sup>3</sup>-sp<sup>2</sup> مشاهده نگردید. آنالیز عنصری کربن نانوذرات حاصله  $۳۶/۸ \text{ %}$  کربن،  $۵/۹ \text{ %}$  هیدروژن،  $۹/۶ \text{ %}$  نیتروژن، و  $۴۴/۷۷ \text{ %}$  اکسیژن نسبت به دوده اولیه  $۹۱/۷ \text{ %}$  کربن،  $۱/۸ \text{ %}$  هیدروژن،  $۱/۸ \text{ %}$  نیتروژن، و  $۴/۴ \text{ %}$  اکسیژن، بسیار متفاوت بوده میزان قابل توجه اکسیژن در کربن نانوذرات‌ها به دلیل حضور گروه‌های کربونیل سطحی می‌باشد. حلالیت کربن نانوذرات در آب، متانول، دی‌متیل فرم آمید، و دی‌متیل سولفوکساید به ترتیب  $۱۸, ۳۰, ۲۰$  و  $۴۱ \text{ میلی‌گرم بر میلی لیتر}$  تعیین گردید. خصوصیات فوتولومینینسنست کربن نانوذرات‌ها به  $\lambda_{\text{ex}}$  و  $\lambda_{\text{em}}$  وابسته بوده و بیشترین میزان نشر آنها در محدوده  $415-615 \text{ nm}$  می‌باشد. جالب توجه است که در این روش برای دستیابی به نانوساختار فوتولومینیسنست نیازی به بی‌اثرسازی سطح خارجی نمی‌باشد.

## ۲-۲-۲- روش سنتز بر روی پایه<sup>۱</sup>

روش سنتز بر روی پایه از دیگر روش‌های سنتزی پایین-بالا است که به طور گسترده‌ای به منظور دستیابی به نانوساختارهای مونوپریس شامل غربال‌های مولکولی، کربن‌های متخلخل و غیره به کار گرفته می‌شود. در این روش از یک بستر استفاده می‌شود که در نتیجه آن در طول انجام واکنش هنگامی که درجه حرارت بالا است از تجمع و تراکم نانوذرات

<sup>۱</sup> Supported



شکل ۴- سنتز کربن نانوذرات‌های فوتولومینیسنست بر روی سطح سیلیکا [۳۶].

طولانی تر قرار گرفتن و گرمایش تحت امواج مایکرو سبب گردید تا کربن نانوادت‌ها از نظر اندازه کمی بزرگتر شده و در طول موج‌های بالاتری نیز نشر داشته باشد. برای مثال کربن نانوادت‌های با قطر میانگین ۲/۷۵ nm ۳/۶۵ به ترتیب با اعمال زمان‌های ۵ و ۱۰ دقیقه تابش دهی امواج مایکرو به دست آمدند. با حذف پلی اتیلن گلایکول نیز تغییرات رنگی مشابهی حاصل گردید اما به دلیل این که کربن نانوادت‌ها حاصله تحت این شرایط خصوصیات فوتولومینسانس ضعیف و بی‌قاعده‌ای دارد، ارزشمند نیست. پنگ و تراواس<sup>۳</sup> روشی ساده برای تهیه کربن نانوادت‌ها با استفاده از کربوهیدرات در محلول آبی ارائه داده‌اند [۳۸]. در ابتدا کربوهیدرات با استفاده از اسید سولفوریک غلیظ آب‌گیری شد تا توده مواد کربنی تولید گردد. در ادامه این مواد با تقطری در اسید نیتریک ۲ مولار به کربن نانوادت‌ها تبدیل شدند. پس از خنکشدن تا دمای محیط، محلول با استفاده از سدیم کربنات خنثی‌سازی شده و آب آن تحت خلاء حذف گردید. پس از آن با استفاده از کیسه دیالیز کربن نانوادت خالص‌سازی شد تا نمک اضافی آن حذف شود. کربن نانوادت حاصله در این مرحله دارای قطر ۵ nm بوده و خصوصیات فوتولومینسانس ضعیفی نیز از خود نشان می‌داد. طی‌سنگی مادون قرمز تبدیل فوریه یک نوار کششی در ناحیه  $1572\text{ cm}^{-1}$  منطبق با پیوند دوگانه کربن=کربن، و یک نوار ارتعاشی در ناحیه  $1375\text{ cm}^{-1}$  منطبق با پیوند کربن-هیدروژن را مشخص نمود. سطح کربن نانوادت‌ها از طرق واکنش با ۴ و ۷ و ۱۰-تری اکسا- ۱ و ۱۳-تری دکان دی آمین، اتیلن دی آمین، اوئیلیل آمین، یا پلی اتیلن گلایکول در دمای  $120^\circ\text{C}$  و به مدت ۷۲ ساعت تحت جو نیتروژن بی‌اثرسازی شد. تصاویر میکروسکوپ الکترونی عبوری (TEM) نشان داد که مشخص نمود که کربن دات‌های حاصله غنی از کربن و اکسیژن با درصد وزنی ۵۷٪ کربن، ۷/۵٪ هیدروژن، ۸/۵٪ نیتروژن، و ۲۷٪ اکسیژن (درصد وزنی) هستند.

<sup>۳</sup> Peng and Travas

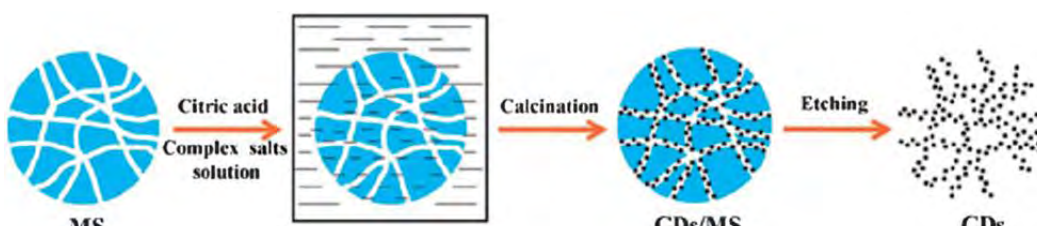
ژو و همکارانش<sup>۱</sup> روشی ساده برای تهیه کربن نانوادت‌آب دوست با استفاده از مزوپروس سیلیکا (MS) کروی به عنوان نانوراکتور طراحی نمودند [۳۷]. بدون نیاز به واکنش اضافی، کربن نانوادت‌ها تنها مونو دی‌سپرس بوده، بلکه سمیت کم، پایداری نوری و خصوصیات بسیار عالی لومینسانس از خود نشان داد. روش کلی سنتز آن در شکل ۵ نشان داده شده است. در ابتدا نانوراکتور مزوپروس سیلیکا کروی با استفاده از ماده فعال سطح N-هگزادریل آمین و تتراتیل اورتوسیلیکات (TEOS) به عنوان پیش‌ماده سیلیکا و با استفاده از آمونیاک به عنوان کاتالیزور آماده شد. پس از آن، نانوراکتور مزوپروس سیلیکا با محلول از کمپلکس نمک و اسید سیتریک مخلوط گردید. در ادامه با کلسینه کردن<sup>۲</sup> و حذف مزوپروس سیلیکا کربن نانوادت‌آب دوست ایجاد گردید. ویژگی مهم این روش به کارگیری حوزه‌های مزوپروس سیلیکا به عنوان بستر است که نه تنها منجر به توزیع نانوادت‌ها به صورت یکنواخت می‌شود، بلکه مانع از تجمع کربن دات‌های در ابعاد نانو نیز می‌گردد.

### ۲-۳-۲- سنتز با استفاده از امواج مایکروویو / فراصوت

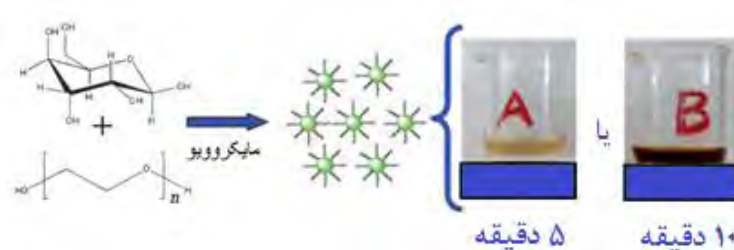
یکی از روش‌های ساده سنتز کربن نانوادت‌ها، تجزیه در اثر حرارت با استفاده از امواج مایکرو و ترکیب پلی اتیلن گلایکول و یک قند (برای مثال گلوکز یا فروکوتوز) است [۲۸]. در روش سنتزی ارائه شده، مقادیر متفاوتی از پلی اتیلن گلایکول و ساکارید در آب مقططر حل گردیده و محلول شفافی حاصل گردید. پس از آن محلول واکنش به مدت ۲ الی ۱۹ دقیقه تحت حرارت در آون مایکروویو ۵۰۰ وات قرار داده شد. با افزایش زمان واکنش، رنگ محلول ابتدا زرد و در نهایت قهوه‌ای تیره شد، که حاکی از تشکیل کربن نانوادت می‌باشد (شکل ۶). کربن نانوادت‌های به دست آمده با توجه به مدت زمان انجام واکنش اندازه و خصوصیات فوتولومینسانست متفاوتی داشته‌اند. زمان‌های

<sup>1</sup> Zhu et al

<sup>2</sup> Calcination

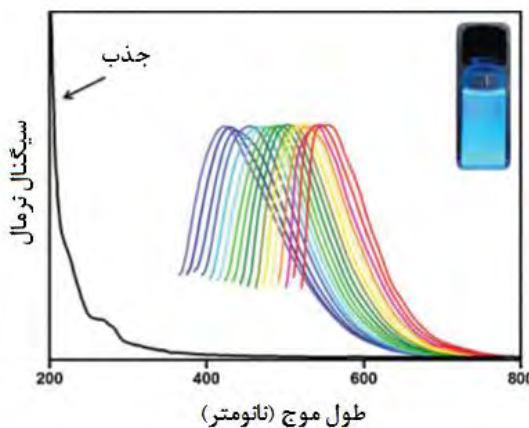


شکل ۵- نمودار پردازش شده برای سنتز کربن نانوادت‌های فوتولومینسانست [۳۷]



شکل ۶- روش استفاده از امواج مایکرو برای سنتز کربن نانوادت [۲۸].

مانند آنهاست که توسط روش کندگی با لیزر [۳۷]، اکسیداسیون الکتروشیمیایی [۱۴] یا روش‌های مایکروویو/فراصوت [۳، ۲۸]. تهیه می‌شوند، دارای یک نوار جذبی در حدود ۳۶۰-۳۲۰ nm هستند.

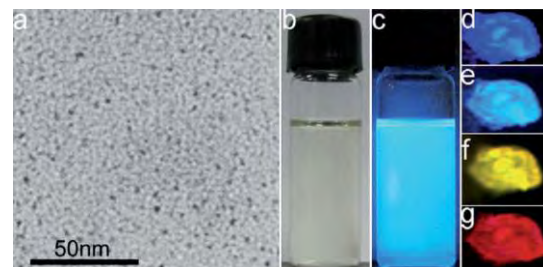


شکل ۱- طیف جنبی و طیف انتشار فوتولومینیسنست کربن نانودات با افزایش طول موج برانگیختگی (شروع از ۳۵۰ nm با افزایش ۱۵ nm). عکس کتاب: تصویر فوتولومینیسنست محلول کربن نانودات زیر یک لامپ UV (۳۶۵ nm). شدت‌های فوتولومینیسنست نرمال در واحدهای اختیاری رسم شده است [۴۴].

### ۳-۲- فوتولومینیسانس

مطالعه خواص نوری در کربن نانودات‌ها با توجه به سازوکارهای فوتولومینیسانس آنها است که ارتباط مستقیم با روش سنتز و عامل‌دارکردن آنها دارد [۴۵، ۴۶]. دو سازوکار اصلی فوتولومینیسنست که برای کربن نانودات‌ها پیشنهاد شده است انتشار توسط تله‌های انرژی سطحی و اثر اندازه کوانتومی است [۴۷] انتشار آبی (طول موج‌های کوتاه‌تر) از اثر اندازه کوانتومی ناشی می‌شود در حالیکه انتشار سبز (طول موج‌های بلندتر) در اثر تله‌های انرژی سطحی است. این نکته با عامل‌دار نمودن کربن نانودات‌ها با گروه‌های دارای عامل آمینی و همچنین کربن نانودات احیاء شده با سدیم بوروهیدرید در شکل ۹ قابل مشاهده است. کربن نانودات‌های احیاء شده با سدیم بوروهیدرید در ناحیه فرابنفش انتشار دارند چرا که در این حالت گروه‌های عاملی کربوکسیلیک اسید سطحی حذف شده‌اند. درنتیجه، فوتولومینیسنست غالب در آنها از اثر اندازه کوانتومی کربن نانوداتی که تقریباً فاقد گروه‌های اکسیژن سطحی است نشأت می‌گیرد [۴۸]. خاصیت لومینیسانس کربن نانودات‌ها با نیمه عمر اساس پیشنهاد گردیده است که از بین رفتن خصوصیت فوتولومینیسنستی که برگرفته از اثر اندازه کوانتومی در کربن نانودات‌ها (کمتر از ۵ نانوثانیه) است، سریع‌تر از خصوصیت فوتولومینیسنست حاصل از تله‌های سطحی انرژی (بین ۵ تا ۱۰ نانوثانیه) می‌باشد [۴۸]. کنترل نمودن خصوصیت فوتولومینیسنست کربن نانودات‌ها از طریق دستکاری گروه‌های عاملی سطحی نسبت به کنترل اندازه کوانتومی آن آسان‌تر است [۴۹]. با این

سنتز هیدروترمال-مایکروویوکربن دات‌های فلورسنت از اکسید گرافیت توسط ژنگ و همکاران<sup>۱</sup> مورد مطالعه قرار گرفت [۱۷]. آنها روش ساده‌ای برای سنتز کربن نانودات‌ها از گلوکز یا کربن فعال با استفاده از امواج فراصوت، ارائه نمودند. این قبیل کربن نانودات‌های فلورسنت محلول در آب می‌توانند در گستره طیفی مرئی تا نزدیک با زیرقرمز قابلیت انتشار فوتولومینیسنست داشته باشند (شکل ۷). قابل ذکر است که نشر نزدیک زیرقرمز (NIR) کربن نانودات‌ها می‌تواند با برانگیختگی در ناحیه NIR بهدست آید. علاوه بر آن، کربن نانودات حاصله خواص فلورسنت بسیار عالی از خود نشان می‌دهد.



شکل ۲- (a) تصویر میکروسکوپ الکترونی کربن نانودات مستقیم شده از گلوکز با قطر میانگین کمتر از ۵ nm. (b) تصویر کربن نانودات پراکنده شده در آب تحت نور خورشید (b) و نور فرابنفش (c) با طول موج ۳۶۵ nm. d-g. تصویر میکروسکوپ الکترونی کربن نانودات‌ها تحت برانگیختگی‌های مختلف از ۴۷۰-۵۴۰ nm و ۵۹۰-۶۴۰ nm.

### ۳- سازوکار فوتولومینیسانس و جذب کربن نانودات‌ها

#### ۳-۱- جذب

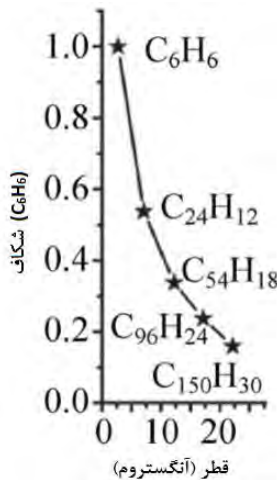
کربن نانودات‌ها عمولاً جذب نور آشکاری در منطقه فرابنفش، با کشیدگی انتهای تا محدوده مرئی نشان می‌دهند. نوار متمرکز در ناحیه ۲۵۰-۳۰۰ nm که در کربن نانودات‌ها وجود دارد به عنوان پیک گذار  $\pi-\pi^*$ -شناخته شده است (شکل ۸). کربن نانودات‌هایی که به روش بالا-پایین سنتز شوند، عموماً خصوصیات جذبی وابسته به اندازه ذرات در گستره طول موجی از ۲۰۰ تا ۲۵۲ nm از خود نشان می‌دهند [۳۹، ۴۰]. علاوه بر این، گروه‌های عاملی سطحی نیز نقش مهمی در تعیین طول موج جذبی کربن نانودات‌ها دارند. به عنوان مثال، نوار جذبی کربن نانودات‌ها پس از عامل‌دار شدن با گروه‌های آمینی (مانند آمونیاک یا ۴-۱۰-تری اکسما-۱ و ۱۳-تری دکان دی آمین (TTDDA) یا اورگانوسیلان‌ها به طول موج‌های بلندتری افزایش پیدا می‌کند [۳۸، ۴۱، ۴۲]. جالب توجه است که کربن نانودات‌های تهیه شده از طریق روش‌های مختلف ویژگی‌های متفاوت جذب نوری از خود نشان می‌دهند. به عنوان مثال، کربن نانودات‌های بر پایه گلوکز که از طریق روش‌های هیدروترمال حرارتی مایکروویو و فراصوت تهیه شده‌اند، دارای اشکال مختلف نوار جذبی در حدود ۲۵۰-۳۰۰ nm می‌باشند [۶، ۴۳]. بسیاری از کربن نانودات‌ها

<sup>1</sup> Zheng et al

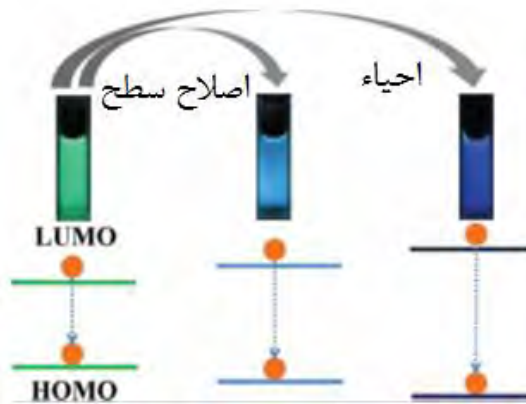
# مقاله

می‌یابد. انرژی این شکاف در محدوده طیفی قابل مشاهده از قطعات گرافن با قطر  $1/2$  nm تا  $1/4$  nm بودست آمد که به خوبی با انتشار قابل مشاهده از کربن نانوادت‌های با قطر کمتر از  $3$  nm در توافق است. بنابراین، آنها نتیجه گرفتند که انتشار قوی کربن نانوادت‌ها در حقیقت از ساختار گرافیت در اندازه کوانتموی نشأت گرفته است.

وجود، ژائو و همکارانش<sup>۱</sup> ادعا کردند که واستگی فوتولومینسانس کربن نانوادت‌ها در طول موج‌های نشري تنها به دلیل تفاوت در اندازه ذرات است و به مکان‌های متفاوت تله‌های نشري بر روی ذرات با اندازه مشابه ارتباطی ندارد [۲۲]. از طرف دیگر رفتار نوری کربن نانوادت‌ها می‌تواند نه تنها بر اثر تأثیر ذرات در اندازه‌های مختلف باشد، بلکه توزیع مکان‌های نشري بر روی هر کربن دات نیز تأثیرگذار است [۵].



شکل ۱۱- فاصله ترازهای انرژی  $Lumo$  و  $Homo$  وابسته به اندازه قطعات گرافنی [۵]



شکل ۹- طرحی از تغییرات شکاف پیوند در کربن نانوادت عامل دار شده با گروه‌های عامل آمینی و کربن نانوادت‌های احیاء شده با سدیم بوروهیدرید [۴۸]

## ۳-۱-۲-۳- اثر اندازه کوانتموی در کربن نانوادت‌ها

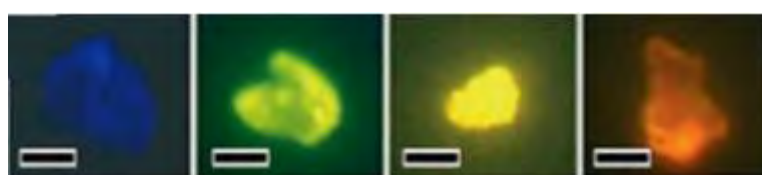
مطالعات اندکی در خصوص اثر اندازه کوانتموی در کربن نانوادت‌ها وجود دارد [۵۰]. کانگ و همکارانش<sup>۲</sup> روش الکتروشیمیایی با کنترل گرانشی را برای آماده‌سازی کربن نانوادت‌ها ارائه داده‌اند [۵۱]. پس از انجام فرآیند جداسازی و خالص‌سازی، کربن نانوادت‌ها در اندازه  $1/2$  nm تا  $3/8$  nm به دست آمدند. آنها مشخص نمودند که خصوصیات فوتولومینسنست کربن نانوادت‌ها با اندازه آنها در ارتباط است (شکل ۱۰) به گونه‌ای که کربن نانوادت‌های در اندازه‌های کوچک  $1/2$  nm در ناحیه فرابینش، کربن نانوادت‌های در اندازه‌های متوسط  $3/8$  nm در ناحیه نور مرئی و کربن نانوادت‌های در اندازه‌های بزرگ  $1/5$  nm در ناحیه نزدیک مادون قرمز نشتر دارند. برای اثبات این مدعای توضیح بیشتر نتایج حاصله کانگ و همکارانش از روش‌های محاسباتی برای بررسی ارتباط بین خصوصیات فوتولومینسنست کربن نانوادت‌ها و اندازه آنها استفاده نمودند. شکل ۱۱ نشان می‌دهد که شکاف بین ترازهای انرژی HOMO-LUMO به اندازه قطعات گرافی افزایش می‌یابد، شکاف بین دو تراز انرژی به تدریج کاهش

<sup>3</sup> Surface passivation treatments

<sup>4</sup> Red-shift

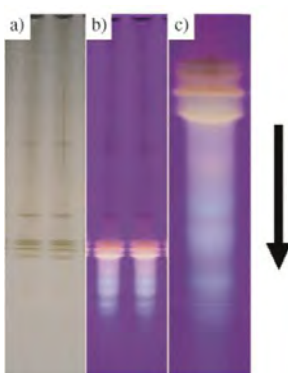
<sup>1</sup> Zhao et al

<sup>2</sup> Kang et al



شکل ۱۰- تصاویر میکروسکوپ الکترونی کربن نانوادت‌های فلورسنت با طول موج تحریک  $360\text{ nm}$  (نوار مقیاس:  $50$  میلی‌متر است) [۵۱]

به دلیل اکسیداسیون متفاوت سطح می‌باشد [۱۵].

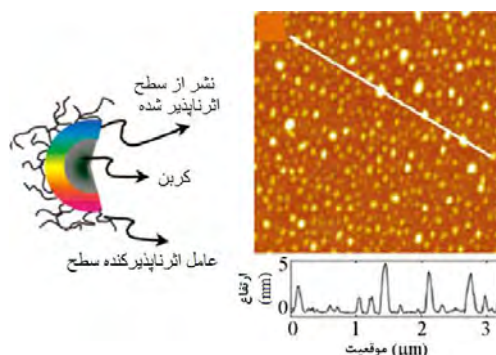


شکل ۱۳- جدایی الکتروفورتیک کربن نانوادات فلورسنت تابش داده شده توسط نور سفید (a) و نور فرابنفش با طول موج  $312\text{ nm}$  (b). نمای از نزدیک گروه‌های فلورسنت c است. فلش سمت راست جهت مهاجرت را نشان می‌دهد [۱۵].

تانگ و همکاران<sup>۳</sup> مشخص نمودن که فوتولومینینسنت دوگانه کربن نانوادات‌ها در حقیقت به هسته و نشر حالت سطح ارتباط دارد [۵۸]. آنها با انجام اندازه‌گیری فلئورسانس وابسته به دما دریافتند که نوارهای دوگانه نشری، وابستگی دمایی مشابهی از خود نشان می‌دهند (شکل ۱۴). برهم‌کنش‌های قوی الکترون-الکترون و برهم‌کنش‌های ضعیف الکترون-fonon<sup>۴</sup> عامل اصلی پهن شدگی نوار فوتولومینینسنت حتی در ۷۷ درجه کلوین می‌باشد. همچنین، کربن نانوادات تهیه شده از اسید سیتریک و اتیلن دی‌آمین فوتولومینینسنت آبی با بازده کوانتموی بالا در حدود ۸۰/۶٪ از خود نشان داده است [۵۹]. علاوه بر این، پیش‌سازهای حاوی گروه‌های آمینی مانند گلیسین [۶۰]، کیتوسان [۶۱] و ۳-آمینوبروپیل تری متوكسی سیلان [۶۲]، نیز برای تهیه کربن نانوادات‌ها بدون بی‌اثرسازی سطح بترتیب با بازده کوانتموی ۴۳، ۳۰/۶ و ۴۲/۶٪ استفاده شده است. همچنین، کاهش شیمیابی توسط سدیم بوروهیدرید [۶۳]، هیدرازین [۶۴] و کاهش فتوشیمیابی با نور فرابنفش [۶۵] نیز به منظور افزایش بازده کوانتموی کربن نانوادات‌ها مورد استفاده قرار گرفته‌اند.

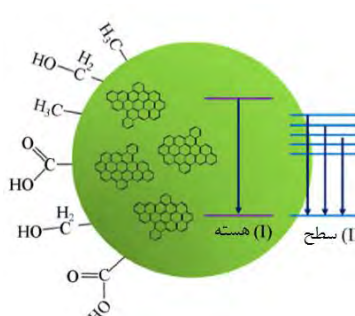
<sup>3</sup> Tang et al  
<sup>4</sup> Phonon

از اولین گزارش سنتر کربن نانوادات‌های فلئورسنت [۴]، که در سال ۲۰۰۴ از طریق الکتروفورز و تصفیه نانولوله‌های کربن حاصل شد، اثبات گردید که اغلب مراکز فوتولومینینسنت کربن نانوادات‌ها بر روی سطح آنها قرار دارند. سان و همکاران<sup>۱</sup> به صورت سیستمی سازوکار بی‌اثرسازی سطح با پلی اتیلن گلایکول در کربن نانوادات‌ها را مورد بررسی قرار دادند. در ابتدا کربن نانوادات به روش کندگی با لیزر از هدف کربنی در حضور بخار آب و گاز حامل آرگون تهیه شد [۳۴]. این گروه تحقیقاتی اثبات کردند که بسیاری از مولکول‌های آلی می‌توانند سبب اثرناپذیری سطح کربن نانوادات‌ها شوند و افزون بر آن تله‌های انرژی سطحی کنترل کننده سازوکار فوتولومینینسنت می‌باشند. اگر چه برانگیختکی ممکن است سبب القای شکاف پیوندهای جنبی شود، اما نوسط انتشار حالت سطحی در کربن نانوادات‌ها کنترل می‌شود [۵۵]. شکل ۱۲ ساختار کربن نانوادات و توپوگرافی تصویر میکروسکوپ الکترونی AFM از کربن نانوادات بر روی بستر میکا را نمایش می‌دهد [۵۶].

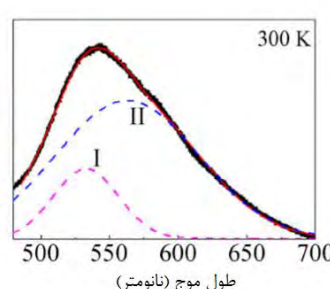


شکل ۱۲- ساختار کربن نانوادات و توپوگرافی تصویر میکروسکوپ الکترونی AFM از کربن نانوادات بر روی بستر میکا با مشخصات ارتفاع در امتداد خط موجود در تصویر [۵۶].

تحقیقات دیگر بر روی اکسیداسیون سطح در طول فرآیند آماده‌سازی کربن نانوادات‌ها انجام پذیرفت و مشخص گردید که حضور گروه‌های اکسیژن بر روی هسته کربن عامل اصلی نشر در کربن نانوادات‌ها می‌باشد [۳۵، ۵۷]. مائو و همکارانش<sup>۵</sup> کربن نانوادات‌های رنگارنگ حاصل از اکسید نمودن دوده شمع را تهیه نمودند (شکل ۱۳). گستره فوتولومینینسنت آن از بنفس به قرمز



<sup>1</sup> Sun et al  
<sup>2</sup> Mao et al



شکل ۱۴- نوار دوگانه فلئورسنت مشاهده شده در کربن نانوادات‌ها که می‌تواند به نشر هسته اتم کربن و حالت سطح آن نسبت داده شود [۵۸].

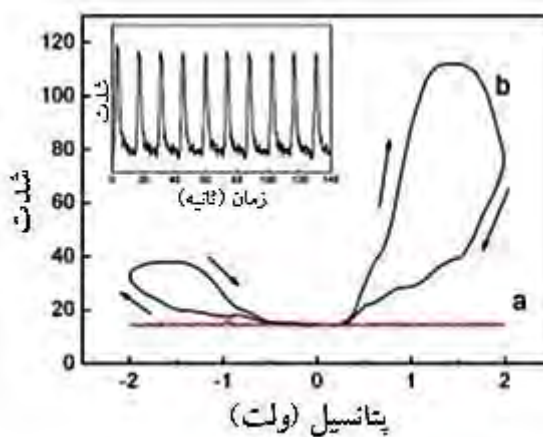
## ۴-۳- خصوصیات انتقال الکترون فوتوالقایی

خصوصیات فوتولومینسانس کربن نانوادت‌ها توسط گروه‌های الکترون دهنده یا الکترون کشندۀ در محلول اطفاء<sup>۱</sup> می‌شود چرا که کربن نانوادت‌های برانگیخته نوری هم الکترون دهنده و هم الکترون کشندۀ های خوبی محسوب می‌شوند. این خصوصیات جالب انتقال الکترون فوتوالقایی سبب گردیده است که کربن نانوادت‌ها به عنوان تبدیل‌کننده‌های خوب انرژی نوری در کاربردهای مختلف مورد تحقیق قرار گیرند [۶۶]. کانگ و همکارانش<sup>۲</sup> گزارش دادند که کربن نانوادت‌ها به دست آمده با استفاده از روش الکتروشیمیابی به کمک قلیا، انتقال الکترون فوتوالقایی خوبی دارد [۱۳]. شکل ۱۶ تجزیه لومینسانس (برانگیختگی ۴۸۵ nm) کربن نانوادت (۵۵۰ nm) کربن نانوادت که توسط پذیرنده الکترون ۲ و ۴-دی‌نیترو‌تولوئن و دهنده الکترون N و N-دی‌اتیل آیلین اطفاء شده است را نشان می‌دهد. نتایج به وضوح تایید می‌کنند که طیف فوتولومینسانس کربن نانوادت توسط هر دو گروه الکترون دهنده یا الکترون کشندۀ فرو نشست می‌کند. بر این اساس کربن نانوادت‌ها هم دهنده و هم کشندۀ بسیار خوب الکترون می‌باشند. در این راستا، سیستم کاتالیزور نوری کربن نانوادت/نقره/سیلورفسفات طراحی شد که فعالیت کاتالیزور نوری بسیار عالی از خود نشان داد. رفتار کاتالیزور نوری به حلال وابسته است و در حلایق قطبی که فرآیند اطفاء از طریق یک سازوکار انتقال الکترون می‌باشد، موثرتر به نظر می‌رسد. مطالعات اندکی در مورد خصوصیات انتقال الکترون فوتوالقایی کربن نانوادت‌ها وجود دارد و مطالعات بیشتری به منظور بررسی کاربردهای کربن نانوادت‌ها در کاتالیزورها، سلول‌های خورشیدی و غیره مورد نیاز است.

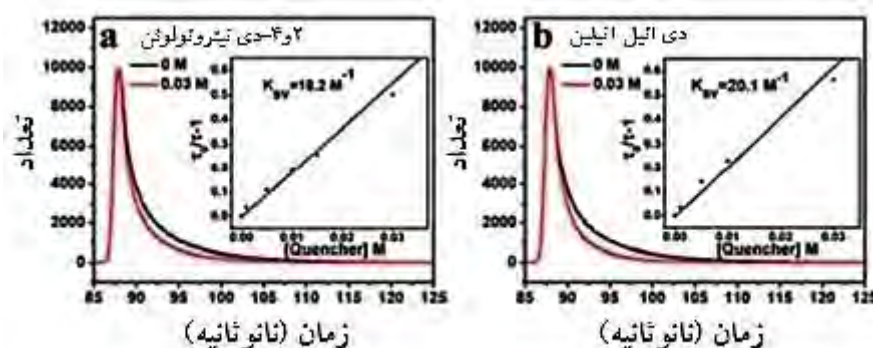
<sup>1</sup> Quench<sup>2</sup> Kang et al

## ۳-۳- لومینسانس الکتروشیمیابی

لومینسانس الکتروشیمیابی به گستردگی برای بررسی نشر فلورست کربن نانوادت‌ها یا نانوبلورهای نیمه هادی انجام پذیرفته است [۲۸]. رفتار لومینسانس الکتروشیمیابی کربن نانوادت‌ها مشابه سایر کواتوم دات‌ها مانند کادمیم-سلنیم و یا نانوبلورهای سیلیسیم می‌باشد [۲۸]. لذا، سازوکار لومینسانس الکتروشیمیابی کربن نانوادت‌ها به این صورت توضیح داده می‌شود: در مرحله اول، حالت اکسید شده (R\*) و حالت احیاء شده (R) کربن نانوادت‌ها در یک چرخه به صورت بالقوه تشکیل می‌شود. سپس خنثی سازی دو حامل بارهای مخالف (R\* و R) اتفاق می‌افتد تا حالت برانگیخته (R\*) تشکیل گردد. کربن دات برانگیخته (R\*) به حالت پایه برگشت می‌کند و طی این فرآیند تابشی درخشان با نشر یک فوتون از خود ساطع می‌نماید. جالب توجه است که شدت لومینسانس الکتروشیمیابی آندیک بزرگ‌تر از کاتندیک بوده و نشان می‌دهد که R\* از R ثبات بیشتری دارد. علاوه بر این، پاسخ لومینسانس الکتروشیمیابی در طول زمان نسبتاً ثابت (شکل ۱۵) است که به طور ضمنی کاربردهای لومینسانس الکتروشیمیابی را در حسکرها بیشتر می‌کند.



شکل ۱۵- پاسخ لومینسانس الکتروشیمیابی بدون کربن نانوادت (a) و با حضور کربن نانوادت (b) در الکترود اکسید-ایندیم-قلع در بافر فسفات ۰/۰۱ Molar با pH برابر ۷. تصویر کوچک‌تر داخل، پاسخ آندی لومینسانس الکتروشیمیابی در طول اسکن  $v=0.1 V s^{-1}$  می‌باشد [۲۸].



شکل ۱۶- تجزیه لومینسانس (برانگیختگی در ۴۸۵ nm، پایش با فیلتر ۵۵۰ nm) کربن نانوادت در (a) ۴-دی‌نیترو‌تولوئن و (b) N و N-دی‌اتیل آینلین [۱۳].

می‌رود. کربن نانوادات‌ها می‌توانند تأثیر فرازینده‌ای در زیست فناوری و کاربردهای زیست محیطی داشته باشند چرا که به دلیل غیرسمی بودن پتانسیل بالای درجایگزینی کوانسوم دات‌های سنتی مبتنی بر فلز سنگین دارند. علاوه بر این، القاء نوری منحصر به فرد و همچنین قابلیت بسیار عالی انتقال الکترون کربن نانوادات‌ها را به یک انتخاب استثنایی برای کاربردهای کاتالیزور نوری و فتوولتائیک تبدیل می‌کند. طراحی دقیق کامپوزیت‌های کربن نانوادات می‌تواند قابلیت گسترش به نسل‌های بعدی دستگاه‌های ذخیره‌سازی انرژی و دستگاه‌های فتوولتائیک، کاتالیزورهای نوری و حسگرها را داشته باشد.

#### ۴- نتیجه‌گیری

در این بررسی تحقیقات بر روی کربن نانوادات‌ها با تمرکز بر خواص فوتولومینسانس آنها ارائه گردیده است. خصوصیات فوتولومینسانس و نوری کربن نانوادات‌ها موضوعی جالب و جذاب است که زمینه‌ساز انجام تحقیقات بیشتر بر روی این نانوساختارهای تازه حضور یافته می‌شود. قابلیت کربن نانوادات‌ها در ذخیره‌سازی و انتقال الکترون تحت تأثیر نور کماکان مورد تحقیق و بررسی قرار می‌گیرد. در آینده، انتظار ظهور مسیرهای سنتری آسان‌تر و موثرتر و کاربردهای خلاقانه‌تری همراه با درک بالقوه در خصوص کربن نانوادات‌ها

#### ۵- مراجع

- P. Roy, P-C. Chen, A. P. Periasamy, Y. N. Chen, H. T. Chang, "Photoluminescent carbon nanodots: synthesis, physicochemical properties and analytical applications", *Mater. today*, 18, 447-458, 2015.
- Y. Wang, A. Hu, "Carbon quantum dots: synthesis, properties and applications", *J. Mater. Chem. C.*, 2, 6921-6939, 2014.
- A. B. Bourlinos, A. Stassinopoulos, D. Anglos, R. Zboril, V. Georgakilas, E. P. Giannelis, "Photoluminescent carbogenic dots", *Chem. Mater.*, 20, 4539-4541, 2008.
- X. Y. Xu, R. Ray, Y. L. Gu, H. J. Ploehn, L. Gearheart, K. Raker, W. A. Scrivens, "Electrophoretic analysis and purification of fluorescent single-walled carbon nanotube fragments", *J. Am. Chem. Soc.*, 126, 12736-12737, 2004.
- S. C. Ray, A. Saha, N. R. Jana, R. Sarkar, "Fluorescent carbon nanoparticles: synthesis, characterization, and bioimaging application", *J. Phys. Chem. C*, 113, 18546-18551, 2009.
- H. T. Li, X. D. He, Y. Liu, H. Huang, S. Y. Lian, S. T. Lee, Z. H. Kang, "One-step ultrasonic synthesis of water-soluble carbon nanoparticles with excellent photoluminescent properties", *Carbon*, 49, 605-609, 2011.
- H. Li, Z. Kang, Y. Liu, S.T. Lee, "Carbon nanodots: synthesis, properties and applications", *J. Mater. Chem.*, 22, 24230-24253, 2012.
- S. N. Baker, G. A. Baker, "Luminescent carbon nanodots: emergent nanolights", *Angew. Chem., Int. Ed.*, 49, 6726-6744, 2010.
- C. I. Weng, H. T. Chang, C. H. Lin, Y. W. Shen, B. Unnikrishnan, Y. J. Li, C. C. Huang, "One-step synthesis of biofunctional carbon quantum dots for bacterial labeling", *Biosens. Bioelectron.*, 68, 1-6, 2015.
- X. F. Jia, J. Lia, E. K. Wang, "One-pot green synthesis of optically pH-sensitive carbon dots with upconversion luminescence", *Nanoscale*, 4, 5572-5575, 2012.
- H. C. Zhang, H. Ming, S. Lian, H. Huang, H. Li, L. Zhang, Y. Liu, Z. Kang, S. T. Lee, "Fe<sub>2</sub>O<sub>3</sub>/carbon quantum dots complex photocatalysts and their enhanced photocatalytic activity under visible light", *Dalton Trans.*, 40, 10822-10825, 2011.
- H. C. Zhang, H. Huang, H. Ming, H. T. Li, L. L. Zhang, Y. Liu, Z. H. Kang, "Carbon quantum dots/Ag<sub>3</sub>PO<sub>4</sub> complex photocatalysts with enhanced photocatalytic activity and stability under visible light", *J. Mater. Chem.*, 22, 10501-10506, 2012.
- S. J. Yu, M. W. Kang, H. C. Chang, K. M. Chen, Y. C. Yu, "Bright fluorescent nanodiamonds: no photobleaching and low cytotoxicity", *J. Am. Chem. Soc.*, 127, 17604-17605, 2005.
- J. G. Zhou, C. Booker, R. Y. Li, X. T. Zhou, T.-K. Sham, X. L. Sun, Z. F. Ding, "An electrochemical avenue to blue luminescent nanocrystals from multiwalled carbon nanotubes (MWCNTs)", *J. Am. Chem. Soc.*, 129, 744-745, 2007.
- H. P. Liu, T. Ye, C. D. Mao, "Fluorescent carbon nanoparticles Derived from candle soot", *Angew. Chem., Int. Ed.*, 46, 6473-6475, 2007.
- Y. Q. Dong, N. N. Zhou, X. M. Lin, J. P. Lin, Y. W. Chi, G. N. Chen, "Extraction of electrochemiluminescent oxidized carbon quantum dots from activated carbon", *Chem. Mater.*, 22, 5895-5899, 2010.
- Q. L. Wang, H. Z. Zheng, Y. J. Long, L. Y. Zhang, M. Gao, W. J. Bai, "Microwave-hydrothermal synthesis of fluorescent carbon dots from graphite oxide", *Carbon*, 49, 3134-3140, 2011.
- L. Cao, X. Wang, M. J. Meziani, F. Lu, H. Wang, P. G. Luo, Y. Lin, B. A. Harruff, L. M. Veca, D. Murray, S. Y. Xie, Y. P. Sun, "Carbon dots for multiphoton bioimaging", *J. Am. Chem. Soc.*, 129, 11318-11319, 2007.
- S. T. Yang, L. Cao, P. G. Luo, F. S. Lu, X. Wang, H. F. Wang, M. J. Meziani, Y. F. Liu, G. Qi, Y. P. Sun, "Carbon dots for optical imaging in vivo", *J. Am. Chem. Soc.*, 131, 11308-11039, 2009.
- H. T. Li, X. D. He, Z. H. Kang, H. Huang, Y. Liu, J. L. Liu, S. Y. Lian, C. H. A. Tsang, X. B. Yang, S. T. Lee, "Water-soluble fluorescent carbon quantum dots and photocatalyst design", *Angew. Chem., Int. Ed.*, 49, 4430-4434, 2010.
- J. Lu, J. X. Yang, J. Wang, A. Lim, S. Wang, K. P. Loh, "One-Pot synthesis of fluorescent carbon nanoribbons, nanoparticles and graphene by the exfoliation of graphite in ionic liquids", *ACS Nano*, 3, 2367-57, 2009.
- Q. L. Zhao, Z. L. Zhang, B. H. Huang, J. Peng, M. Zhang, D. W. Pang, "Facile preparation of low cytotoxicity fluorescent carbon nanocrystals by electrooxidation of graphite", *Chem. Commun.*, 5116-5118, 2008.
- L. Tian, D. Ghosh, W. Chen, S. Pradhan, X. Chang, S. Chen, "Nanosized carbon particles from natural gas soot", *Chem. Mater.*, 21, 2803-2809, 2009.
- D. Pan, J. Zhang, Z. Li, M. Wu, "Hydrothermal route for cutting graphene sheets into blue-luminescent graphene quantum dots", *Adv. Mater.*, 22, 734-738, 2010.
- D. Y. Pan, J. C. Zhang, Z. Li, C. Wu, X. M. Yan, M. H. Wu, "Observation of pH-, solvent-, spin-, and excitation-dependent blue photoluminescence from carbon nanoparticles", *Chem. Commun.*, 46, 3681-3683, 2010.
- Q. Liang, W. Ma, Y. Shi, Z. Li, X. Yang, "Easy synthesis of highly fluorescent carbon quantum dots from gelatin and their luminescent properties and applications", *Carbon*, 60, 421-428, 2013.
- Y. Xiu, Q. Gao, G. D. Li, K. X. Wang, J. S. Chen, "Preparation and tunable photoluminescence of carbogenic nanoparticles confined in a microporous magnesium-aluminophosphate", *Inorg. Chem.*, 13, 5859-5867, 2010.
- H. Zhu, X. L. Wang, Y. L. Li, Z. J. Wang, F. Yang, X. R. Yang, "Microwave synthesis of fluorescent carbon nanoparticles with electrochemiluminescence properties", *Chem. Commun.*, 5118-5120, 2009.
- H. T. Li, X. D. He, Y. Liu, H. Yu, Z. H. Kang, S. T. Lee, "Synthesis of fluorescent carbon nanoparticles directly from active carbon via a one-step ultrasonic treatment", *Mater. Res. Bull.*, 46,

147-151, 2011.

30. X. H. Wang, K. G. Qu, B. L. Xu, J. S. Ren, X. G. Qu, "Microwave assisted one-step green synthesis of cell-permeable multicolor photoluminescent carbon dots without surface passivation reagents", *J. Mater. Chem.*, 21, 2445-2450, 2011.
31. M. L. Mueller, X. Yan, J. A. McGuire, L. S. Li, "Triplet states and electronic relaxation in photoexcited graphene quantum dots", *Nano Lett.*, 10, 2679-2682, 2010.
32. X. Yan, X. Cui, B. S. Li, L. S. Li, "Large, solution-processable graphene quantum dots as light absorbers for photovoltaics", *Nano Lett.*, 10, 1869-1873, 2010.
33. M. L. Mueller, X. Yan, B. Dragnea, L. S. Li, "Slow hot-carrier relaxation in colloidal graphene quantum dots", *Nano Lett.*, 11, 56-60, 2010.
34. Y. P. Sun, B. Zhou, Y. Lin, W. Wang, K. A. S. Fernando, P. Pathak, M. J. Meziani, B. A. Harruff, X. Wang, H. F. Wang, P. J. G. Luo, H. Yang, M. E. Kose, B. L. Chen, L. M. Veca, S. Y. Xie, "Quantum-sized carbon dots for bright and colorful photoluminescence", *J. Am. Chem. Soc.*, 128, 7756-7757, 2006.
35. S. L. Hu, K. Y. Niu, J. Sun, J. Yang, N. Q. Zhao, X. W. Du, "One-step synthesis of fluorescent carbon nanoparticles by laser irradiation", *J. Mater. Chem.*, 19, 484-488, 2009.
36. R. L. Liu, D. Q. Wu, S. H. Liu, K. Koynov, W. Knoll, Q. Li, "An aqueous route to multicolor photoluminescent carbon dots using silica spheres as carriers", *Angew. Chem. Int. Ed.*, 48, 4598-4601, 2009.
37. J. Zong, Y. H. Zhu, X. L. Yang, J. H. Shen, C. Z. Li, "Synthesis of photoluminescent carbogenic dots using mesoporous silica spheres as nanoreactors", *Chem. Commun.*, 47, 764-766, 2011.
38. H. Peng, J. Travas-Sejdic, "Simple aqueous solution route to luminescent carbogenic dots from carbohydrates", *Chem. Mater.*, 21, 5563-5566, 2009.
39. S. Kim, S. W. Hwang, M. K. Kim, D. Y. Shin, D. H. Shin, C. O. Kim, S. B. Yang, J. H. Park, E. Hwang, S. H. Choi, G. Ko, S. Sim, C. Sone, H. J. Choi, S. Bae, B. H. Hong, "Anomalous behaviors of visible luminescence from graphene quantum dots: interplay between size and shape", *ACS Nano*, 6, 8203-8208, 2012.
40. J. Peng, W. Gao, B. K. Gupta, Z. Liu, R. R. Aburto, L. Ge, L. Song, L. B. Alemany, X. Zhan, G. Gao, S. A. Vithayathil, B. A. Kaipparettu, A. A. Marti, T. Hayashi, J. J. Zhu, P. M. Ajayan, "Graphene quantum dots derived from carbon fibers", *Nano Lett.* 12, 844-849, 2012.
41. H. Tetsuka, R. Asahi, A. Nagoya, K. Okamoto, I. Tajima, R. Ohta, A. Okamoto, "Optically tunable amino-functionalized graphene quantum dots", *Adv. Mater.*, 24, 5333-5338, 2012.
42. Z.-C. Yang, M. Wang, A. M. Yong, S. Y. Wong, X.-H. Zhang, H. Tan, A. Y. Chang, X. Li, J. Wang, "Intrinsically fluorescent carbon dots with tunable emission derived from hydrothermal treatment of glucose in the presence of monopotassium phosphate", *Chem. Commun.*, 47, 11615-11617, 2011.
43. L. Tang, R. Ji, X. Cao, J. Lin, H. Jiang, X. Li, K. S. Teng, C. M. Luk, S. Zeng, J. Hao, S. P. Lau, "Deep ultraviolet photoluminescence of water-soluble self-passivated graphene quantum dots", *ACS Nano*, 6, 5102-5110, 2012.
44. P. C. Hsu, Z.-Y. Shih, C.-H. Lee, H.-T. Chang, "Synthesis and analytical applications of photoluminescent carbon nanodots", *Green Chem.*, 14, 917-920, 2012.
45. Z. H. Kang, Y. Liu, S. T. Lee, "Small-sized silicon nanoparticles: new nanolights and nanocatalysts", *Nanoscale*, 3, 777-791, 2011.
46. Z. F. Ding, B. M. Quinn, S. K. Haram, L. E. Pell, B. A. Korgel, A. J. Bard, "Electrochemistry and electrogenerated chemiluminescence from silicon nanocrystal quantum dots", *Science*, 296, 1293-1297, 2002.
47. S. Zhu, J. Zhang, A. Tang, C. Qiao, L. Wang, H. Wang, X. Liu, B. Li, Y. Li, W. Yu, X. Wang, H. Sun, B. Yang, "Surface chemistry routes to modulate the photoluminescence of graphene quantum dots: from fluorescence mechanism to up-conversion bioimaging applications", *Adv. Funct. Mater.*, 22, 4732-4740, 2012.
48. F. Liu, M.-H. Jang, H. D. Ha, J.-H. Kim, Y.-H. Cho, T. S. Seo, "Facile synthetic method for pristine graphene quantum dots and graphene oxide quantum dots: origin of blue and green luminescence", *Adv. Mater.*, 25, 3657-3662, 2013.
49. K. P. Loh, Q. Bao, G. Eda, M. Chhowalla, "Graphene oxide as a chemically tunable platform for optical applications", *Nat. Chem.*, 2, 1015-1024, 2010.
50. S. Zhu, Y. S. X. Zhao, J. Shao, J. Zhang, B. Yang, "The photoluminescence mechanism in carbon dots (graphene quantum dots, carbon nanodots, and polymer dots): Current state and future perspective", *Nano Research*, 8, 355-381, 2015.
51. H. T. Li, X. D. He, Z. H. Kang, H. Huang, Y. Liu, J. L. Liu, S. Y. Lian, C. H. Tsang, X. B. Yang, S.-T. Lee, "Water-soluble fluorescent carbon quantum dots and photocatalyst design", *Angew. Chem. Int. Ed.*, 49, 4430-4434, 2010.
52. F. Wang, S. Pang, L. Wang, Q. Li, M. Kreiter, C.-Y. Liu, "One-Step synthesis of highly luminescent carbon dots in noncoordinating solvents", *Chem. Mater.*, 22, 4528-4530, 2010.
53. V. N. Mochalin, Y. Gogotsi, "Wet chemistry route to hydrophobic blue fluorescent nanodiamond", *J. Am. Chem. Soc.*, 131, 4594-4595, 2009.
54. F. Wang, Z. Xie, H. Zhang, C.-Y. Liu, Y.-G. Zhang, "Highly luminescent organosilane-functionalized carbon dots", *Adv. Funct. Mater.*, 21, 1027-1031, 2011.
55. X. Wang, L. Cao, S.-T. Yang, F. S. Lu, M. J. Meziani, L. L. Tian, K. W. Sun, M. A. Bloodgood, Y.-P. Sun, "Bandgap-like strong fluorescence in functionalized carbon nanoparticles", *Angew. Chem. Int. Ed.*, 49, 5310-5314, 2010.
56. L. Cao, X. Wang, M. J. Meziani, F. S. Lu, H. F. Wang, P. J. G. Luo, Y. Lin, B. A. Harruff, L. M. Veca, D. Murray, S.-Y. Xie, Y.-P. Sun, "Carbon dots for multiphoton bioimaging", *J. Am. Chem. Soc.*, 129, 11318-11319, 2007.
57. X. Y. Li, H. Q. Wang, Y. Shimizu, A. Pyatenko, K. Kawaguchi, N. Koshizaki, "Preparation of carbon quantum dots with tunable photoluminescence by rapid laser passivation in ordinary organic solvents", *Chem. Commun.*, 47, 932-934, 2011.
58. P. Yu, X. M. Wen, Y.-R. Toh, J. Tang, "Temperature-dependent fluorescence in carbon dots", *J. Phys. Chem. C*, 116, 25552-25557, 2012.
59. S. Zhu, Q. Meng, L. Wang, J. Zhang, Y. Song, H. Jin, K. Zhang, H. Sun, H. Wang, B. Yang, "Highly photoluminescent carbon dots for multicolor patterning, sensors, and bioimaging", *Angew. Chem. Int. Ed.*, 52, 3953-3957, 2013.
60. P. C. Hsu, H.-T. Chang, "Synthesis of high-quality carbon nano dots from hydrophilic compounds: role of functional groups", *Chem. Commun.*, 48, 3984-3986, 2012.
61. Y. Yang, J. Cui, M. Zheng, C. Hu, S. Tan, Y. Xiao, Q. Yang, Y. Liu, "One-step synthesis of amino-functionalized fluorescent carbon nanoparticles by hydrothermal carbonization of chitosan", *Chem. Commun.*, 48, 380-382, 2012.
62. P. C. Chen, Y.-N. Chen, P.-C. Hsu, C.-C. Shih, H.-T. Chang, "Photoluminescent organosilane-functionalized carbon dots as temperature probes", *Chem. Commun.*, 49, 1639-1641, 2013.
63. H. Z. Zheng, Q. L. Wang, Y. J. Long, H. J. Zhang, X. X. Huang, R. Zhu, "Enhancing the luminescence of carbon dots with a reduction pathway", *Chem. Commun.*, 47, 10650-10652, 2011.
64. G. Eda, Y.-Y. Lin, C. Mattevi, H. Yamaguchi, H.-A. Chen, I.-S. Chen, C.-W. Chen, M. Chhowalla, "Blue photoluminescence from chemically derived graphene oxide", *Adv. Mater.*, 22, 505-509, 2010.
65. H. Sun, L. Wu, N. Gao, J. Ren, X. Qu, "Improvement of photoluminescence of graphene quantum dots with a biocompatible photochemical reduction pathway and its bioimaging application", *ACS Appl. Mater. Interfaces*, 5, 1174-1179, 2013.
66. X. Wang, L. Cao, F. S. Lu, M. J. Meziani, H. Li, G. Qi, B. Zhou, B. A. Harruff, F. Kermarrec, Y. P. Sun, "Photoinduced electron transfers with carbon dots", *Chem. Commun.*, 3774-3776, 2009.